

## EKSAMENSOPPGAVE

Fag: Elektronikk IRE 20012

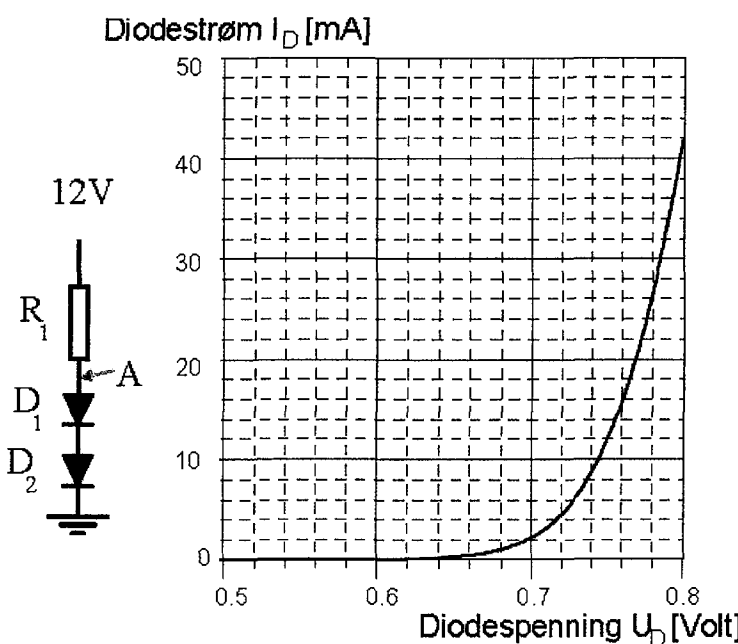
Lærer/telefon: Per Thomas Huth

<b>Grupper:</b> 13ELE, 13ELEY	<b>Dato:</b> 11. desember 2015	<b>Tid:</b> 09.00 – 13.00
<b>Antall oppgavesider:</b> 4 (Inkludert forsiden)		<b>Antall vedleggsider:</b> 5
<b>Sensurfrist:</b> 12.1.2014		
<b>Hjelpeemidler:</b> Kalkulator. Skridesaker. Personlig formelsamling på 10 ark. (Maskin eller håndskrevet.)		
<b>KANDIDATEN MÅ SELV KONTROLLERE AT OPPGAVESETTET ER FULLSTENDIG</b>		

Generelt for alle oppgaver gjelder at alle svar må begrunnes. Alle deloppgaver (a, b...) teller like mye.

### OPPGAVE – 1

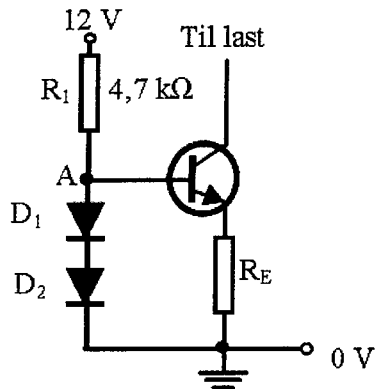
Figuren under viser en enkel diodekrets med tilhørende karakteristikk.



- Ta først utgangspunkt i kretsen og finn diodestrømmen og spenningen i punkter A når det gjøres en enkel overslagsberegnung.

- b) Gjør en ny nøyaktigere beregning av det samme, hvor du også tar hensyn til karakteristikken.

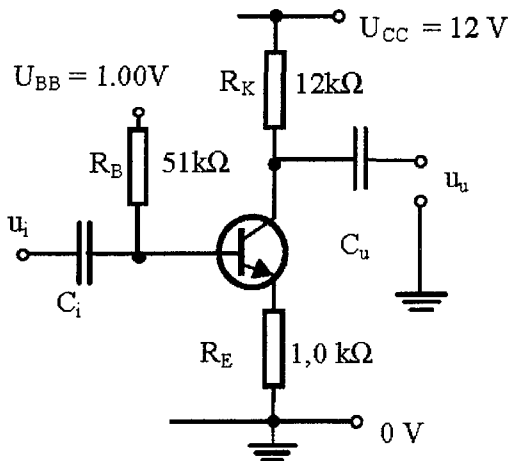
Vi kopler på en transistor av type BC547B som vist i figuren under.



- c) Gjør igjen en overslagsberegning. Finn  $R_E$  når kollektorstrømmen låses til 10mA.  
 d) Hva er funksjonen til denne kretsen og hva kan vi kalle den.  
 e) Gjør samme beregning som i c) hvor vi tar hensyn til diodekarakteristikken og databladet til transistoren. Det vil si en nøyaktigere beregning av  $R_E$ .

## OPPGAVE – 2

Figuren under viser en kopling med en BC547B transistor. Vi bruker  $\beta = 230$  i hele oppgaven. Hvis du ønsker å benytte EbersMolls likning i det etterfølgende så er  $n=1,3$  og  $V_T = 25mV$ .

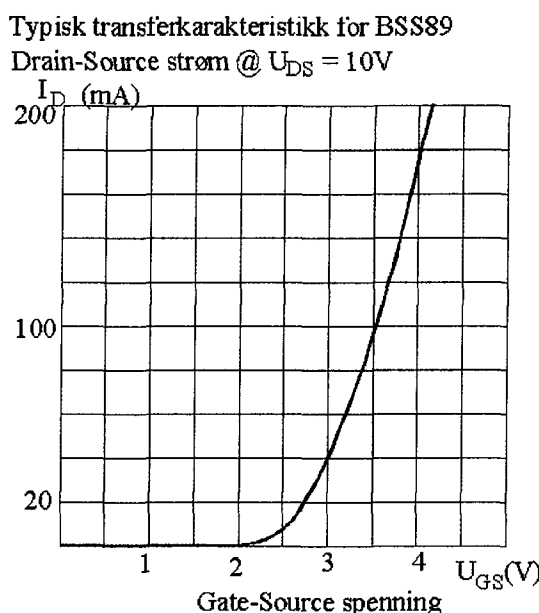


- a) Hva er egenskapene til denne koplingen.  
 b) Hva er minimum sammenbrudds-spenning mellom kollektor og emitter for den gitte transistoren og under hvilke forhold er den målt?  
 c) Finn arbeidspunktet for kollektorstrøm, kollektor-emitter spenning og basespenningen.  
 d) For å forbedre kretsen ønsker vi en kollektorstrøm på 0,5mA. Dette gjøres ved å regulere  $U_{BB}$ . Til hvilken verdi?

Forutsetter i det etterfølgende at signalene som behandles har moderate frekvenser og signalnivåer.

- e) Tegn en småsignalmodell for kretsen.
- f) Finn inngangsmotstand til kretsen.
- g) Finn utgangsmotstanden uten å ta hensyn til early-effekten.
- h) Finn kretsens forsterkning uten tilkoplet last.
- i) Hva blir forsterkningen i h) hvis vi tar hensyn til en earlymotstand på  $80\text{k}\Omega$ .
- j) Finn transfer(overførings) funksjonen til filteret på inngangen. Hva slags filter er det på inngangen.
- k) Beregn  $C_i$  slik at vi får en grensefrekvens på 20Hz på inngangen.
- l) Vi tenker oss at vi påtrykker en sprangpuls på 5V på inngangen til filteret. Finn signalet ut av filteret i tidsplanet.
- m) Lag en skisse av signalet og finn tidskonstanten til filteret.

Figuren under viser karakteristikken til en BSS89.



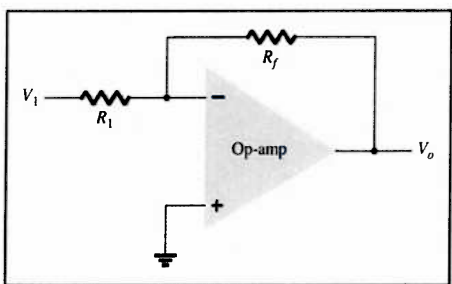
For å gi lavere utgangsresistans, kopler vi en source-følger med den gitte felteffekttransistoren, BSS89 (Datablad vedlagt), direkte til kollektoren på NPN transistoren i figuren over (rett på, ingen kondensator imellom trinnene!).

- n) Tegn dette.
- o) Vil arbeidspunktet til NPN transistoren forandre seg når FET'n koples til? Begrunn svaret!
- p) Hva er terskelspenningen til felteffekttransistoren?
- q) Finn sourcemotstanden når strømmen i FET'n skal være 10mA.

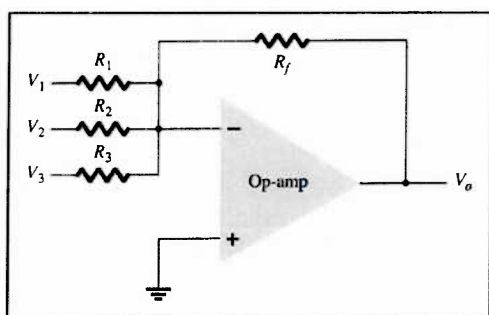
### OPPGAVE – 3

Figurene under viser en operasjonsforsterkerkretser som vi betrakter som ideelle.

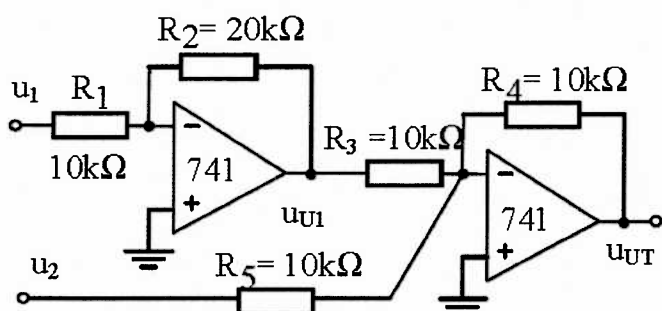
- a) Hva kjennetegner en ideell operasjonsforsterker når vi regner på den?
- b) Finn et utrykk for utgangsspenningen som funksjon av spenningen inn i figuren under.  
Hva slags krets er dette?



- c) Finn et utrykk for utgangsspenningen som funksjon av spenningen inn i figuren under.  
Hva slags krets er dette?  
d) Hva blir utgangsspenningen om alle motstandene er like og inngangene alle lik 10 volt?



- e) Finn et utrykk for utgangsspenningen som funksjon av spenningene inn i figuren under.  
Hva slags krets er dette?  
f) Hva blir resultatet om alle motstandene er like?

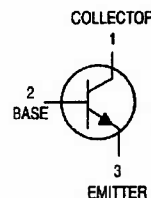


Vedlegg -1

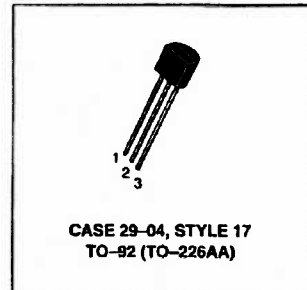
**MOTOROLA**  
**SEMICONDUCTOR TECHNICAL DATA**

Order this document  
by BC546/D

**Amplifier Transistors**  
**NPN Silicon**



**BC546, B**  
**BC547, A, B, C**  
**BC548, A, B, C**



**MAXIMUM RATINGS**

Rating	Symbol	BC 546	BC 547	BC 548	Unit
Collector-Emitter Voltage	$V_{CEO}$	65	45	30	Vdc
Collector-Base Voltage	$V_{CBO}$	80	50	30	Vdc
Emitter-Base Voltage	$V_{EBO}$	6.0		Vdc	
Collector Current — Continuous	$I_C$	100		mAdc	
Total Device Dissipation @ $T_A = 25^\circ\text{C}$ Derate above $25^\circ\text{C}$	$P_D$	625		mW	
		5.0		$\text{mW}/^\circ\text{C}$	
Total Device Dissipation @ $T_C = 25^\circ\text{C}$ Derate above $25^\circ\text{C}$	$P_D$	1.5		Watt	
		12		$\text{mW}/^\circ\text{C}$	
Operating and Storage Junction Temperature Range	$T_J, T_{Stg}$	-55 to +150		°C	

**THERMAL CHARACTERISTICS**

Characteristic	Symbol	Max	Unit
Thermal Resistance, Junction to Ambient	$R_{\theta JA}$	200	°C/W
Thermal Resistance, Junction to Case	$R_{\theta JC}$	83.3	°C/W

**ELECTRICAL CHARACTERISTICS ( $T_A = 25^\circ\text{C}$  unless otherwise noted)**

Characteristic	Symbol	Min	Typ	Max	Unit
<b>OFF CHARACTERISTICS</b>					
Collector-Emitter Breakdown Voltage ( $I_C = 1.0 \text{ mA}, I_B = 0$ )	$V_{(BR)CEO}$	65	—	—	V
		45	—	—	
		30	—	—	
Collector-Base Breakdown Voltage ( $I_C = 100 \mu\text{Adc}$ )	$V_{(BR)CBO}$	80	—	—	V
		50	—	—	
		30	—	—	
Emitter-Base Breakdown Voltage ( $I_E = 10 \mu\text{A}, I_C = 0$ )	$V_{(BR)EBO}$	6.0	—	—	V
		6.0	—	—	
		6.0	—	—	
Collector Cutoff Current ( $V_{CE} = 70 \text{ V}, V_{BE} = 0$ ) ( $V_{CE} = 50 \text{ V}, V_{BE} = 0$ ) ( $V_{CE} = 35 \text{ V}, V_{BE} = 0$ ) ( $V_{CE} = 30 \text{ V}, T_A = 125^\circ\text{C}$ )	$I_{CES}$	—	0.2	15	nA
		—	0.2	15	
		—	0.2	15	
		—	—	4.0	$\mu\text{A}$

REV 1

© Motorola, Inc. 1996

 **MOTOROLA**

Vedlegg - 2

**BC546, B BC547, A, B, C BC548, A, B, C**

ELECTRICAL CHARACTERISTICS ( $T_A = 25^\circ\text{C}$  unless otherwise noted) (Continued)

Characteristic	Symbol	Min	Typ	Max	Unit
<b>ON CHARACTERISTICS</b>					
DC Current Gain ( $I_C = 10 \mu\text{A}, V_{CE} = 5.0 \text{ V}$ )	$h_{FE}$	—	90	—	—
		—	150	—	—
		—	270	—	—
( $I_C = 2.0 \text{ mA}, V_{CE} = 5.0 \text{ V}$ )					
BC546		110	—	450	
BC547		110	—	800	
BC548		110	—	800	
BC547A/548A		110	180	220	
BC546B/547B/548B		200	290	450	
BC547C/BC548C		420	520	800	
( $I_C = 100 \text{ mA}, V_{CE} = 5.0 \text{ V}$ )					
BC547A/548A		—	120	—	
BC546B/547B/548B		—	180	—	
BC548C		—	300	—	
Collector-Emitter Saturation Voltage ( $I_C = 10 \text{ mA}, I_B = 0.5 \text{ mA}$ )	$V_{CE(\text{sat})}$	—	0.09	0.25	V
( $I_C = 100 \text{ mA}, I_B = 0.5 \text{ mA}$ )		—	0.2	0.6	
( $I_C = 10 \text{ mA}, I_B = \text{See Note 1}$ )		—	0.3	0.6	
Base-Emitter Saturation Voltage ( $I_C = 10 \text{ mA}, I_B = 0.5 \text{ mA}$ )	$V_{BE(\text{sat})}$	—	0.7	—	V
Base-Emitter On Voltage ( $I_C = 2.0 \text{ mA}, V_{CE} = 5.0 \text{ V}$ )	$V_{BE(\text{on})}$	0.55	—	0.7	V
( $I_C = 10 \text{ mA}, V_{CE} = 5.0 \text{ V}$ )		—	—	0.77	
<b>SMALL-SIGNAL CHARACTERISTICS</b>					
Current-Gain — Bandwidth Product ( $I_C = 10 \text{ mA}, V_{CE} = 5.0 \text{ V}, f = 100 \text{ MHz}$ )	$f_T$	150	300	—	MHz
BC546		150	300	—	
BC547		150	300	—	
BC548		150	300	—	
Output Capacitance ( $V_{CB} = 10 \text{ V}, I_C = 0, f = 1.0 \text{ MHz}$ )	$C_{obo}$	—	1.7	4.5	pF
Input Capacitance ( $V_{EB} = 0.5 \text{ V}, I_C = 0, f = 1.0 \text{ MHz}$ )	$C_{ibo}$	—	10	—	pF
Small-Signal Current Gain ( $I_C = 2.0 \text{ mA}, V_{CE} = 5.0 \text{ V}, f = 1.0 \text{ kHz}$ )	$h_{fe}$	125	—	500	—
BC546		125	—	900	
BC547/548		125	220	260	
BC547A/548A		125	330	500	
BC546B/547B/548B		240	600	900	
BC547C/548C		450	—	—	
Noise Figure ( $I_C = 0.2 \text{ mA}, V_{CE} = 5.0 \text{ V}, R_S = 2 \text{ k}\Omega$ , $f = 1.0 \text{ kHz}, \Delta f = 200 \text{ Hz}$ )	NF	—	2.0	10	dB
BC546		—	2.0	10	
BC547		—	2.0	10	
BC548		—	2.0	10	

Note 1:  $I_B$  is value for which  $I_C = 11 \text{ mA}$  at  $V_{CE} = 1.0 \text{ V}$ .

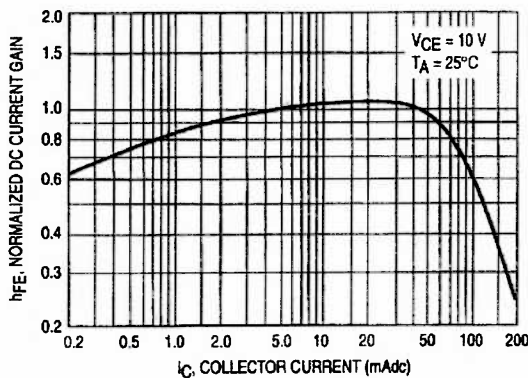


Figure 1. Normalized DC Current Gain

**BC546, B BC547, A, B, C BC548, A, B, C**

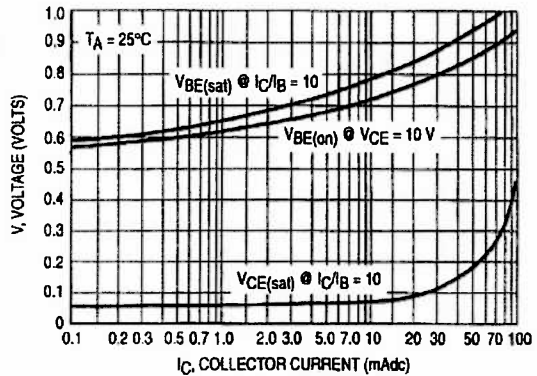


Figure 2. "Saturation" and "On" Voltages

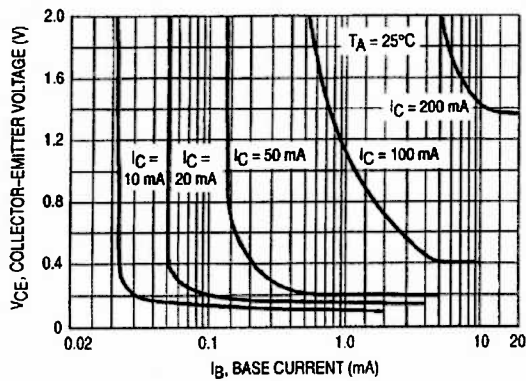


Figure 3. Collector Saturation Region

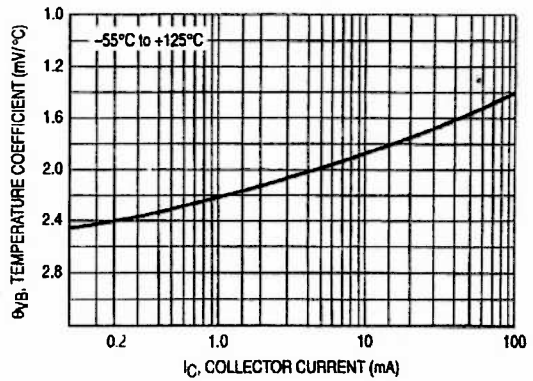


Figure 4. Base-Emitter Temperature Coefficient

**BC547/BC548**

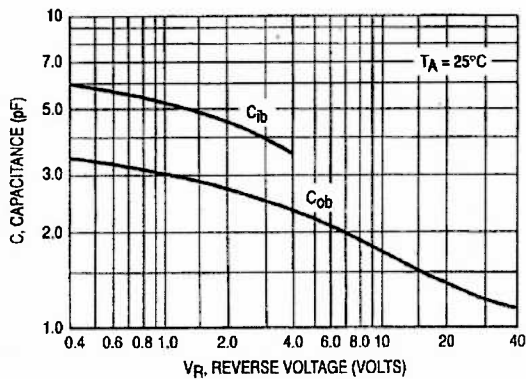


Figure 5. Capacitances

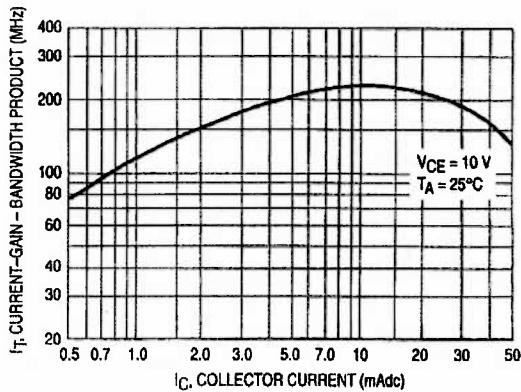


Figure 6. Current-Gain - Bandwidth Product

Vedlegg - 4

Philips Semiconductors

Product specification

N-channel enhancement mode  
vertical D-MOS transistor

BSS89

**LIMITING VALUES**

In accordance with the Absolute Maximum Rating System (IEC 134).

SYMBOL	PARAMETER	CONDITIONS	MIN.	MAX.	UNIT
$V_{DS}$	drain-source voltage (DC)		-	200	V
$V_{GSO}$	gate-source voltage (DC)	open drain	-	$\pm 20$	V
$I_D$	drain current (DC)		-	300	mA
$I_{DM}$	peak drain current		-	1.2	A
$P_{tot}$	total power dissipation	$T_{amb} \leq 25^\circ\text{C}$ ; note 1	-	1	W
$T_{stg}$	storage temperature		-55	+150	$^\circ\text{C}$
$T_J$	junction temperature		-	150	$^\circ\text{C}$

**THERMAL CHARACTERISTICS**

SYMBOL	PARAMETER	CONDITIONS	VALUE	UNIT
$R_{thJ-a}$	thermal resistance from junction to ambient	note 1	125	K/W

Note to the Limiting values and Thermal characteristics

1. Device mounted on a printed-circuit board, maximum lead length 4 mm; mounting pad for drain lead minimum 10 x 10 mm.

**CHARACTERISTICS**

$T_J = 25^\circ\text{C}$  unless otherwise specified.

SYMBOL	PARAMETER	CONDITIONS	MIN.	TYP.	MAX.	UNIT
$V_{(BR)DSS}$	drain-source breakdown voltage	$V_{GS} = 0$ ; $I_D = 250 \mu\text{A}$	200	-	-	V
$V_{Gsth}$	gate-source threshold voltage	$V_{DS} = V_{GS}$ ; $I_D = 1 \text{ mA}$	0.8	-	2.8	V
$I_{DSS}$	drain-source leakage current	$V_{DS} = 60 \text{ V}$ ; $V_{GS} = 0$	-	-	200	nA
		$V_{DS} = 200 \text{ V}$ ; $V_{GS} = 0$	-	0.1	60	$\mu\text{A}$
$I_{GSS}$	gate leakage current	$V_{DS} = 0$ ; $V_{GS} = \pm 20 \text{ V}$	-	-	$\pm 100$	nA
$R_{DSon}$	drain-source on-state resistance	$V_{GS} = 10 \text{ V}$ ; $I_D = 400 \text{ mA}$	-	4.5	6	$\Omega$
$ y_{fs} $	forward transfer admittance	$I_D = 400 \text{ mA}$ ; $V_{DS} = 25 \text{ V}$	140	350	-	mS
$C_{iss}$	input capacitance	$V_{DS} = 25 \text{ V}$ ; $V_{GS} = 0$ ; $f = 1 \text{ MHz}$	-	45	-	pF
$C_{oss}$	output capacitance	$V_{DS} = 25 \text{ V}$ ; $V_{GS} = 0$ ; $f = 1 \text{ MHz}$	-	15	-	pF
$C_{rss}$	reverse transfer capacitance	$V_{DS} = 25 \text{ V}$ ; $V_{GS} = 0$ ; $f = 1 \text{ MHz}$	-	3.5	-	pF
<b>Switching times (see Figs 2 and 3)</b>						
$t_{on}$	turn-on time	$V_{GS} = 0$ to $10 \text{ V}$ ; $V_{DD} = 50 \text{ V}$ ; $I_D = 250 \text{ mA}$	-	5	-	ns
$t_{off}$	turn-off time	$V_{GS} = 10$ to $0 \text{ V}$ ; $V_{DD} = 50 \text{ V}$ ; $I_D = 250 \text{ mA}$	-	15	-	ns

Vedlegg - 5

**Generelle laplacetransformasjoner:**

	Tidsfunksjon	Laplacetransform
1	$u(t)$	$U(s)$
2	$k_1 \cdot u_1(t) + k_2 \cdot u_2(t)$	$k_1 \cdot U_1(s) + k_2 \cdot U_2(s)$
3	$u'(t)$	$sF(s) + f(0)$
4	$\int_0^t u(\tau) d\tau$	$\frac{1}{s} U(s)$
5	Sprang med høyde $U_0$ (pulsflanke)	$\frac{U_0}{s}$
Sluttverditeoremet: $\lim_{s \rightarrow 0} sF(s) = \lim_{t \rightarrow \infty} f(t)$		

Noen konkrete sprang(puls)responser når sprang(puls)høyden er  $U_0$ :

(Du finner mange flere varianter i en matematisk tabell)

	Transferfunksjon $H_A(s)$	Respons på sprang(puls) med høyde $U_0$
Lavpass (RC)	$\frac{K}{s\tau + 1} \quad \tau = RC$	$u(t) = KU_0(1 - e^{-t/\tau})$
Høypass (RC)	$K \frac{s\tau}{s\tau + 1} \quad \tau = RC$	$u(t) = KU_0 e^{-t/\tau}$
Integrator (C)	$K/s$	$u(t) = K \cdot U_0 \cdot t$
Lav og Høypass (RC)	$\frac{K(s\tau_1 + 1)}{(s\tau_2 + 1)} \quad \tau_1 = R_1 C, \tau_2 = R_2 C$	$u(t) = KU_0(1 + \frac{\tau_1 - \tau_2}{\tau_2} e^{-t/\tau_2})$
Lavpass (RLC), VCVS	$\frac{K}{((\frac{s}{2\pi f_0})^2 + (\frac{s}{2\pi f_0}) \frac{1}{Q} + 1)}$	$u(t) = KU_0 \left( 1 - \frac{2Qe^{-\pi f_0 t / Q}}{\sqrt{4Q^2 - 1}} \cos(\sqrt{4Q^2 - 1} \pi f_0 t / Q - \varphi) \right)$ $\varphi = \text{Arcsin } \zeta \quad \text{når } Q \geq \frac{1}{2}$

Sammenhengen mellom frekvensrespons  $A(f)$  og transferfunksjonen  $H_A(s)$  for en krets:

Bytt ut laplacevariabelen  $s$  i transferfunksjonen  $H_A(s)$  med  $2\pi jf$  og ta modulus (absoluttverdi):

$$A(f) = |H_A(2\pi jf)|.$$